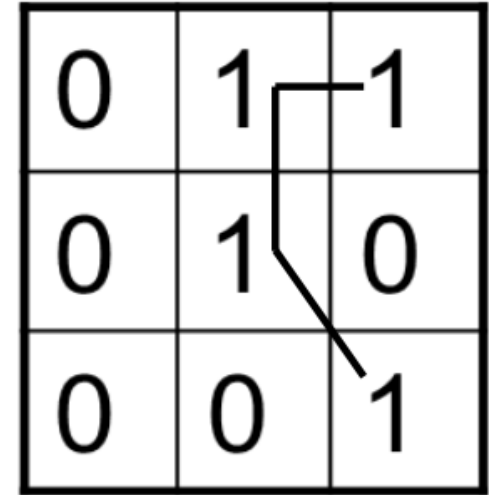


2.5 像素间的基本关系-邻接

- 4邻接
- 8邻接
- m邻接
 - 消除8邻接的二义性
 - 需满足以下两点：
 1. q在p的4邻域中
 2. q在p的对角邻域中，并且q与p的4邻域无交集



2.5 像素间的基本关系-距离

- 距离函数

- L_p 范数诱导的距离度量 $D(\mathbf{u}, \mathbf{v}) = \|\mathbf{u} - \mathbf{v}\|_p = (\sum_{i=1}^k |u_i - v_i|^p)^{\frac{1}{p}}$

- 城区距离(City-block)、曼哈顿距离: L_1 范数

- 欧式距离(Euclidean): L_2 范数

- 棋盘距离(Chessboard)

- 定义: $D_8(\mathbf{x}, \mathbf{y}) = \max(|x_1 - y_1|, |x_2 - y_2|)$

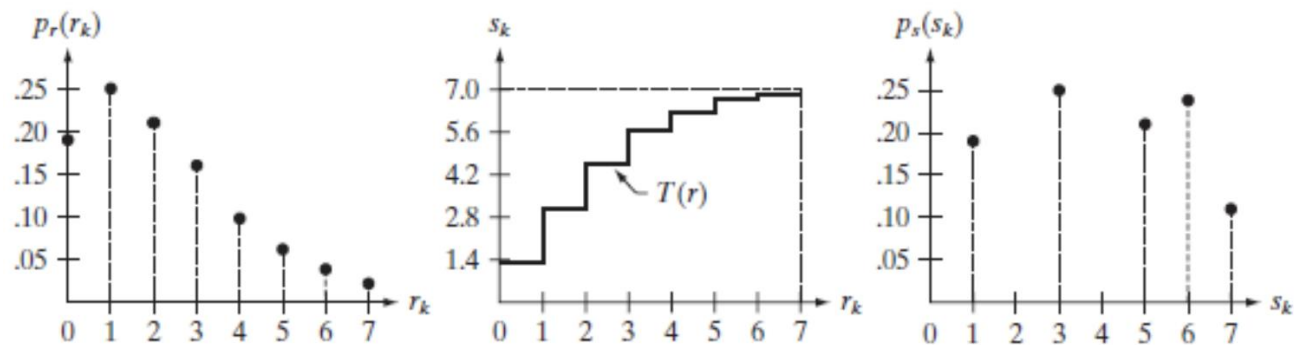
- 等价于 L_∞ 范数, 证明:

$$\|d\|_p = (|d_1|^p + \dots + |d_k|^p)^{\frac{1}{p}}$$

$$\lim_{p \rightarrow \infty} \|d\|_p = \lim_{p \rightarrow \infty} d_{\max} \left(\left(\frac{|d_1|}{d_{\max}}\right)^p + \dots + \left(\frac{|d_k|}{d_{\max}}\right)^p \right)^{\frac{1}{p}}$$

$$\lim_{p \rightarrow \infty} d_{\max} (1^p + 0)^{\frac{1}{p}} \leq \lim_{p \rightarrow \infty} \|d\|_p \leq \lim_{p \rightarrow \infty} d_{\max} (k \times 1)^{\frac{1}{p}}$$

3.3 直方图处理



- 直方图均衡化:

- $$s_k = T(r_k) = (L - 1) \sum_{j=0}^k \frac{n_j}{MN} = \frac{(L-1)}{MN} \sum_{j=0}^k n_j, k = 0, 1, 2, \dots, L - 1$$

- 例题:

- 证明: 对一副图片连续做两次直方图均衡化和一次的结果一样
 - 因为上式结果与亮度大小 r_k 无关, 与出现频次 n_j 有关。(均衡只改变了直方图的密度)
 - 证明, 将 n_{s_j} 带入, $n_{s_j} = n_{r_j} = n_j$

3.4 空间滤波

- 空域平滑

- 均值滤波(去噪, 模糊), 中值滤波(椒盐噪声)

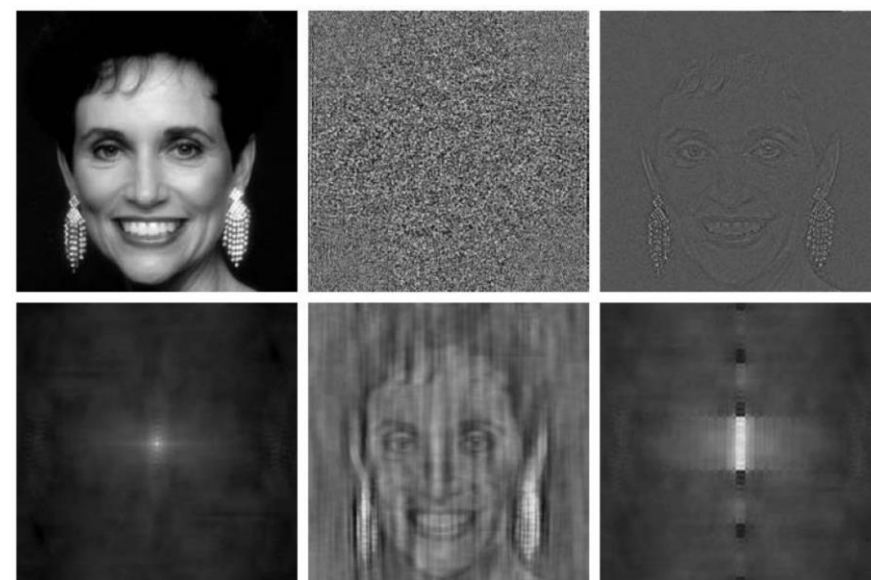
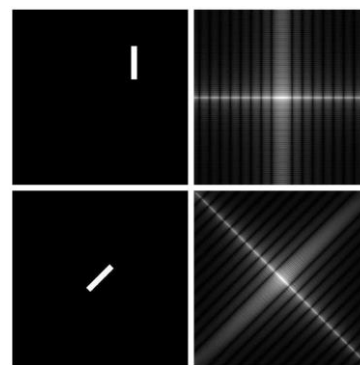
- 空域锐化

- 一阶微分: $\nabla f = \left[\frac{\partial f}{\partial x}, \frac{\partial f}{\partial y} \right]^T$

- 二阶微分: $\nabla^2 f = \frac{\partial^2 f}{\partial x^2} + \frac{\partial^2 f}{\partial y^2} = f(x+1, y) + f(x-1, y) + f(x, y+1) + f(x, y-1) - 4f(x, y)$

- 各向同性

4.1 DFT



- DFT的变换与反变换公式

- 特性

- 频谱的中心化: $f(x, y)(-1)^{x+y} \Leftrightarrow F(u - \frac{M}{2}, v - \frac{N}{2})$

- 频谱图的中心点大小与平均灰度成正比: $F(0,0) = MN \frac{1}{MN} \sum_1^{M-1} \sum_1^{N-1} f(x, y) = MN \bar{f}$

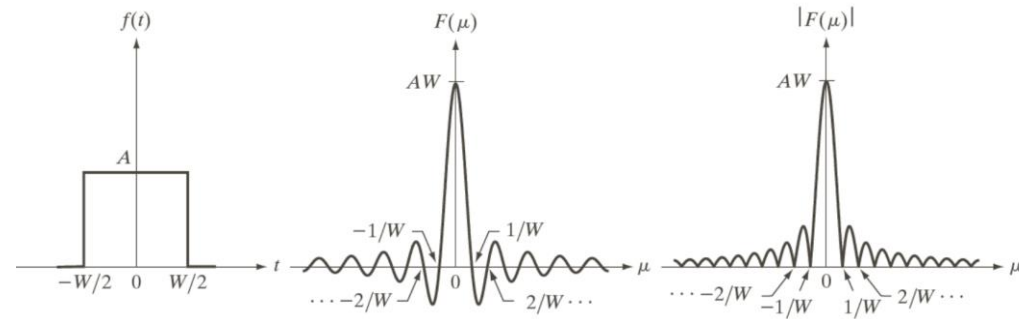
- 图像平移, 频谱图不变: $f(x - a, y - b) \Leftrightarrow F(u, v)e^{-j2\pi(au+bv)}$

- 图像旋转角度与频谱图一致: $f(r, \theta + \theta_0) \Leftrightarrow F(\omega, \varphi + \varphi_0)$

- 相位图和图像中的形状特性有关

4.2 频率域滤波

- 步骤, 书4.7.3小节
- 空间滤波和频域滤波
 - 低通滤波: 平滑滤波
 - 高通滤波: sobel算子(一阶)、Laplacian算子(二阶)
- 滤波器
 - ILPF的振铃效应 (矩形窗和Sa函数是一变换对)
 - 巴特沃斯型(1阶没有, 随着阶数上升而明显), 高斯型没有
- 同态滤波
 - 图像可表示为照射分量和反射分量的乘积
 - 通过取对数, 分离图像的照射和反射分量



例题

- 4.21-在末尾补零与在四周补零(数目相同), 滤波结果有什么变化?
 - 没有变化
 - 因为补零是为了在一个DFT计算周期内, 避免前后的缠绕
 - 在反变换之后, 裁去补零部分, 结果相同



- 4.22-原始 $M \times N$ 的图像, 补零后为 $P \times Q$
 - 原图像平均值和填充后图像平均值的比值是多少

- $r = \frac{\bar{f}}{\bar{f}_p} = \frac{PQ}{MN}$

- $F_p(0,0) = F(0,0)?$

- $F_p(0,0) = PQ\bar{f}_p(x, y), F(0,0) = MN\bar{f}(x, y) = MN\frac{PQ}{MN}\bar{f}_p(x, y) = PQ\bar{f}_p(x, y)$

例题

- 4.33-右侧图像由以下步骤得到:a)用 $(-1)^{x+y}$ 乘以左侧图像; b)计算DFT; c)取该变换的复共轭; d)计算反DFT; e)用 $(-1)^{x+y}$ 乘以结果实部。产生以下变化的原因。

$$\begin{aligned}\mathfrak{F}^{-1} [F^*(u, v)] &= \sum_{x=0}^{M-1} \sum_{y=0}^{N-1} F(u, v) e^{-j2\pi(ux/M + vy/N)} \\ &= \sum_{x=0}^{M-1} \sum_{y=0}^{N-1} F(u, v) e^{j2\pi(u(-x)/M + v(-y)/N)} \\ &= f(-x, -y)\end{aligned}$$



例题

- 4.42-假设有一组图像，这组图像是由对恒星事件分析的实验生成的。每一幅图像都包含一组明亮且松散的点，这些点对应于广袤宇宙空间中的星星。问题是这些星星因为大气折射导致的重叠照射几乎不可见。如果这些图像使用一组冲激建模为一个恒定照射分量的乘积，试提出一个增强过程。（设计为显示星星自身分量的同态滤波）

- 星星建模为 $\delta(x - x_0, y - y_0)$ ，则图像为

$$f(x, y) = K \delta(x - x_0, y - y_0)$$

- 同态滤波

$$\begin{aligned} z(x, y) &= \ln f(x, y) = \ln K + \ln \delta(x - x_0, y - y_0) \\ &= K' + \delta'(x - x_0, y - y_0). \end{aligned}$$

$$\begin{aligned} \mathfrak{F}[z(x, y)] &= \mathfrak{F}[K'] + \mathfrak{F}[\delta'(x - x_0, y - y_0)] \\ &= \delta(0, 0) + e^{-2\pi i(u x_0 + v y_0)}. \end{aligned}$$

陷波滤波器